

九州大学工学部 正局 横木 武
 同 学生員 楊 熱得
 同 学生員 ○副島宏巳

1. 予えがき

自由水面で有する不圧地下水流れの浸透流問題に、有限要素法を適用して、自由水面および湧出点を仮定しながら反復計算を行なう解析する際に、仮定湧出点の推定が問題であることは周知のとおりである。すなわち、湧出点を仮定すること自体が流れの系を束縛することになり、このためには、場合によつては、湧出点近傍で奇妙な応答を示すことは、文献(1)に例示されといふとおりである。しかしながら、湧出点仮定法は、各反復計算に際しての湧出点の推定法が妥当なものとみれば、仮定湧出点の拘束が解の収束性に差程重大な影響を及ぼすものではなく、また演算効率の点で極めて有利であり、解析手順も簡明であるなどとすぐれた利点を有するものである。したがつて、これほどにその利点を強調して各種の諸法^{1,2,3,4}が提案されていふ。しかしこれらの諸法は前述の難点ゆえに、理論よりびに実用計算の両面にわたつて必ずしも妥当とは言へないものである。

そこで本研究では、精度の高い合理的な湧出点を推定することによつて、湧出点仮定法の利点を損うことなく湧出点仮定に關する不都合を極力排除することを方法を新たに提案し、既往の諸法に代えんとするものである。

2. 湧出点推定法

一般に、湧出点の性質はFig. 1に示すように2つタイプに分られる。Type-Aは湧出点を生じる斜面の傾斜が $\theta \leq 90^\circ$ の場合で、自由水面が湧出点において斜面に接する。Type-Bは $\theta \geq 90^\circ$ の場合で、自由水面が湧出点において鉛直になる。これらの性質と、湧出点近傍の自由水面形が擬似放物線^{2,3}近くで^{2,3}という性質を利用して、各反復計算に用ひべき湧出点の推定を次のように行なうことが出来る。

(1) Type-A ($\theta \leq 90^\circ$) の湧出点推定法

いま、有限要素法^{1,2,3} 反復計算の第(I-1)回目の仮定湧出点を P_{2-1} 、自由水面上の任意の点を $1', 2'$ としてFig. 1。実線は示すように自由水面が仮定されといふものとする。この仮定湧出点、自由水面を用ひて浸透

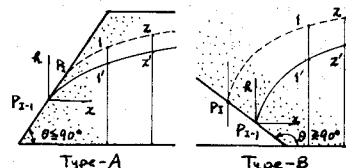


Fig. 1 湧出点のタイプ

性方程式を作成し、所要の境界条件のもとにこれを解けば、点 $1', 2'$ のポテンシャルを $1, 2$ のようにえられることはなる。この点 $1, 2$ を通る自由水面に対する新しい湧出点 P_2 を求めることが、本題の目的である。いま P_1 は点 $1, 2$ を通る座標系 (x_1, z_1) を導入し、点 $1, 2$ の座標値とそれと $(x_2, z_2), (z_2, z_1)$ とする。前述のように、 P_1 は点 $1, 2$ を通る滑らかな曲線 c 、 P_2 は斜面に接することを考慮して算定することになるが、これを厳密に行なおうとする計算が複雑化し、実用性を損う恐れがある。そこで $P_1, 2$ のまゝ、まず点 $1, 2$ を通る x 軸との交点 2^* 、斜面の傾斜に同じ接線を有する放物線（以下、仮定放物線¹と称する）、および x 軸との交点 1^* 、斜面の傾斜に同じ接線を有する放物線（仮定放物線²）を求めるところにする。

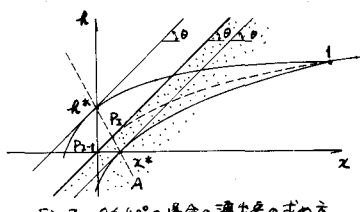
すなはち、仮定放物線¹の基礎微分方程式を

$$A_1 \frac{dR}{dz} = 1 / \sqrt{z + z_0} \quad z = z_1 \text{ に } A_1, z_0 : \text{定数} \quad (1)$$

とし、 $z = 0$ で $A_1 \frac{dR}{dz} = \tan \theta$, $z = \frac{1}{2}(x_1 + x_2) (= z_*)$ で $\frac{dR}{dz} = \frac{R_2 - R_1}{z_2 - z_1}$
 および $z = x_1$ で $R = R_1$

なる条件下に式(1)を解けば、仮定放物線¹は

$$R = \frac{z}{A_1} \left(\sqrt{z + z_0} - \sqrt{z_1 + z_0} \right) + R_1 \quad (2)$$

Fig. 2 $\theta \geq 90^\circ$ の場合の湧出点の求め方

$$\text{ここで } x_0 = \bar{x} / \left\{ \left(\frac{x_2 - z_1}{k_2 - k_1} \right)^2 \tan^2 \theta - 1 \right\}, A_1 = \cot \theta / \sqrt{x_0}$$

同様に、反復放物線乙の基礎微分方程式を

$$A_2 \frac{dk}{dx} = 1 / (k + k_0) \quad (4)$$

$$\text{とし } k = 0 \text{ で } \frac{dk}{dx} = \tan \theta, k = \frac{1}{2} (k_1 + k_2) (= \bar{k}) \text{ で } \frac{dk}{dx} = \frac{k_2 - k_1}{x_2 - x_1}$$

$$\text{および } x = x_1 \text{ のとき } k = k_1 \quad (5)$$

より条件のもとに式(4)を解けば、反復放物線乙は

$$k = \frac{A_2}{2} \left\{ (k + k_0)^2 - (k_1 + k_0)^2 \right\} + k_1 \quad (6)$$

$$\text{ここで } k_0 = \bar{k} / \left\{ \left(\frac{x_2 - z_1}{k_2 - k_1} \right)^2 \tan^2 \theta - 1 \right\}, A_2 = \cot \theta / k_0$$

式(3)および式(6)より、 k , x 軸との交点 k^* , x^* を算定すれば

$$k^* = k_1 - 2\sqrt{x_0} (\sqrt{x_1 + x_0} - \sqrt{x_0}) \tan \theta, x^* = x_1 - \frac{1}{2k_0} (k_1 + 2k_0) k_0 \cot \theta \quad (7)$$

このとき、 k^* , x^* を通す直線 A を求めれば、反復放物線 I, II の中間みるいはその近傍において、直線 A との交点で接線の斜面の傾斜に等しく、かつ壳りを通り、 (\bar{x}, \bar{z}) で接線勾配が $(k - \bar{k}) / (x_2 - x_1)$ となる擬似放物線群を描くことができる。そこで、次の工程番目の反復計算における修正自由水面および湧出点が、この擬似放物線群の一つで近似できるものと仮定すれば、湧出点 P_1 は、直線 A と斜面との交点として算出でき、その座標値 (x_1, k_1) が次のように求められることになる。

$$x_1 = k^* / (k^* / x^* + \tan \theta), k_1 = k^* \tan \theta / (k^* / x^* + \tan \theta) \quad (8)$$

(2) Type-B ($\theta \geq 90^\circ$) の湧出点推定法

Type-B の湧出点の推定法を図示すれば、Fig. 3 の通りである。その原理は Type-A と同様である。すなはち反復放物線 I, II で $A \cdot R = \sqrt{x - x_0}$ (A_1, x_0 : 定数), $A_2(k - k_0) = \sqrt{x}$ (A_2, k_0 : 定数)

のようになれば、両放物線はいずれも直線 I, II を通すという条件より定数が算定され、新たに湧出点 P_1 の座標値は以下のとおりである。

$$x_1 = k_0 / (k_0 / x_0 + \tan \theta), k_1 = k_0 \tan \theta / (k_0 / x_0 + \tan \theta)$$

3. 適用例

本文に提案する方法を用いて、堤体内浸透流の問題(Fig. 4)を解析し、検討を行なえば次のとおりである。Fig. 5 は上記の問題に対しても湧出点の収束状況を明らかにしておるものであり、比較例として、河野の方法により湧出点を推定した。図より明らかなように、湧出点のボテンシャルは河野の方法がより低い値で算出されるが、反復計算初期における湧出点が極めて低く算出されるため、アログラミング上、特別の配慮が必要となる難点である。すなはち Fig. 6 は、案 1, 2 および部東番号 16, 17 (Case 1), 15, 17 (Case 2), 15, 16 (Case 3) を選んだ場合の、両者の湧出点を算出し、比較したものである。各ケースについての湧出点のボテンシャルの最大差異は、著者らの方法では $\Delta H \approx 0.11$ であったに対し、河野の方法では $\Delta H \approx 0.42$ であり、著者らの方法が湧出点近傍の要素分割に対する安定性が高いためである。

[参考文献] 1) Neuman, S.P. and P.A. Witherspoon: Finite element method of analyzing steady seepage with a free surface, Water Resour. Res., vol. 6, No. 3, 1970, pp. 849~857 2) Finn, W.D.: Finite element analysis of seepage through dams, Proc. ASCE, SM, vol. 93, No. 6, 1967, pp. 41~48 3) 木本勝男ほか: 堤体および基礎における浸透流の有限要素解析について、土と基礎, vol. 18, No. 12, 1970, pp. 9~26 4) 河野伊一郎: 有限要素法による堤体浸透問題の解析、土と基礎, vol. 21, No. 8, 1973, pp. 13~19

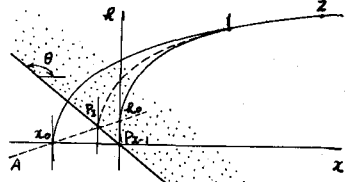


Fig. 3 $\theta \geq 90^\circ$ の場合の湧出点の求め方

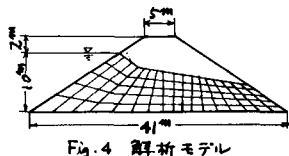


Fig. 4 解析モデル

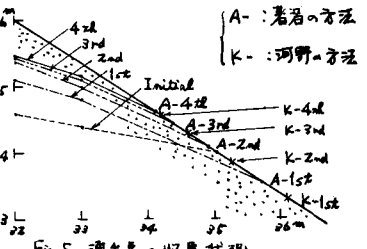


Fig. 5 湍出点の収束状況

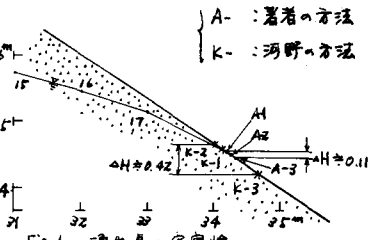


Fig. 6 湍出点の安定性